

## Усовершенствование композиционного устройства управления с оптимальной адресацией микрокоманд

К.Н. Ефименко

Донецкий национальный технический университет

KN\_Efimenko@mail.ru

**Ефименко К.Н. Усовершенствование композиционного устройства управления с оптимальной адресацией микрокоманд.** Предложен метод, позволяющий упростить схему адресации композиционного микропрограммного устройства управления с оптимальной адресацией микрокоманд, реализованную на FPGA. Метод основан на использовании процедуры элементаризации операторных линейных цепей с разделением кодов и оптимальным кодированием операторных линейных цепей. Применение данного метода обеспечивает уменьшение числа LUT-элементов в FPGA микросхеме. Приведен пример применения предложенного метода.

**Ключевые слова:** КМУУ с оптимальной адресацией микрокоманд, FPGA, оптимальное кодирование, логическая схема

### Введение

Стремительное развитие компьютерной техники неуклонно ведет к ее внедрению практически во все сферы деятельности человека, что в свою очередь, предъявляет все более высокие требования к характеристикам проектируемых устройств. При этом основное внимание уделяется как увеличению быстродействия, так и снижению аппаратурных затрат, что в конечном итоге влияет на снижение себестоимости изделий цифровой техники. Это относится как к универсальным, так и к специализированным вычислительным системам, при реализации которых широко используются ПЛИС типа «система-на-кристалле» (SoPC – system-on-a-programmable-chip) [1-4]. В состав SoPC входят средства для реализации произвольной логики (FPGA или CPLD), средства для реализации памяти, встроенные микропроцессоры, встроенные средства реконфигурации. Производительность таких ПЛИС определяется эффективностью взаимодействия всех встроенных компонентов [5].

Важнейшей составной частью любой цифровой системы является устройство управления [1,5], которое может быть реализовано как композиционное микропрограммное устройство управления (КМУУ) [6]. При реализации КМУУ в составе SoPC схема адресации микрокоманд строится на FPGA (field-programmable gate array) – программируемых пользователем матрицах вентилей, состоящих из миллионов элементов табличного типа (LUT-элементов) [7,8], а система микроопераций реализуются на встроенных блоках памяти (EMB, embedded

memory blocks). Ограничение число входов LUT-элементов приводит к необходимости декомпозиции реализуемых булевых функций [8], что увеличивает число LUT-элементов (и их уровней) в схеме адресации КМУУ. В связи с этим актуальной остается задача разработки новых и совершенствования известных методов синтеза КМУУ.

В данной работе предлагается усовершенствование метода синтеза КМУУ с оптимальной адресацией микрокоманд [9], основанное на использовании процедуры элементаризации операторных линейных цепей (ОЛЦ) с разделением кодов.

Задачей исследования является разработка метода синтеза КМУУ с оптимальной адресацией микрокоманд, позволяющего уменьшить число LUT-элементов в комбинационной части УУ.

### Общие теоретические положения

Пусть алгоритм управления цифровой системы задан в виде граф-схемы алгоритма (ГСА)  $\Gamma$  [6], содержащей начальную  $b_0$ , конечную  $b_E$ , операторные и условные вершины. Операторные вершины образуют множество  $B_1$ , имеющее  $M$  элементов. В вершинах  $b_q \in B_1$  записываются микрокоманды  $Y_q \subseteq Y$ , где  $Y = \{y_1, \dots, y_N\}$  – множество микроопераций. В условных вершинах, образующих множество  $B_2$ , записываются элементы множества логических условий  $X = \{x_1, \dots, x_L\}$ . Вершины ГСА образуют множество  $B = B_1 \cup B_2 \cup \{b_0, b_E\}$ , элементы которого связаны дугами из множества  $E$ .

Введем ряд определений [7], необходимых для дальнейшего изложения материала.

**Определение 1.** Операторной линейной цепью ГСА  $\Gamma$  называется конечная последовательность операторных вершин  $\alpha_g = \langle b_{g_1}, \dots, b_{g_{F_g}} \rangle$ , для любой пары соседних компонент которой существует дуга  $\langle b_{g_i}, b_{g_{i+1}} \rangle \in E$ , где  $i=1, \dots, F_g - 1$  – номер компоненты.

**Определение 2.** Вершина  $b_q \in D^g$ , где  $D^g \subseteq B_1$  – множество вершин, входящих в ОЛЦ  $\alpha_g$ , называется входом ОЛЦ  $\alpha_g$ , если существует дуга  $\langle b_t, b_q \rangle \in E$ , где  $b_t \notin D^g$ .

**Определение 3.** Вершина  $b_q \in D^g$ , называется выходом ОЛЦ  $\alpha_g$ , если существует дуга  $\langle b_q, b_t \rangle \in E$ , где  $b_t \notin D^g$ .

**Определение 4.** Вход ОЛЦ называется главным входом, если отсутствует связь этого входа с выходами операторных вершин.

**Определение 5.** Операторные линейные цепи  $\alpha_i, \alpha_j \in C$  называются псевдоэквивалентными ОЛЦ, если их выходы связаны с входом одной и той

же вершины ГСА  $\Gamma$ , и образуют множество классов псевдоэквивалентных ОЛЦ  $P_C = \{B_1, \dots, B_l\}$ .  $I = |P_C|$ .

Пусть для ГСА  $\Gamma$  найдено разбиение  $C = \{\alpha_1, \dots, \alpha_K\}$  множества  $B_1$  на операторные линейные цепи и пусть для каждой пары соседних вершин ОЛЦ  $\alpha_g \in C$  выполняется условие

$$A(b_{g_{i+1}}) = A(b_{g_i}) + 1 \quad (i=1, K, F_g - 1), \quad (1)$$

где  $A(b_g)$  – адрес микрокоманды, соответствующей вершине  $b_g \in B_1$ .

В этом случае устройство управления цифровой системы может быть реализовано в виде КМУУ  $U_1$  с оптимальной адресацией микрокоманд (рис. 1) [9], синтез которого основан на наличии в ГСА псевдоэквивалентных операторных линейных цепей (ПОЛЦ).

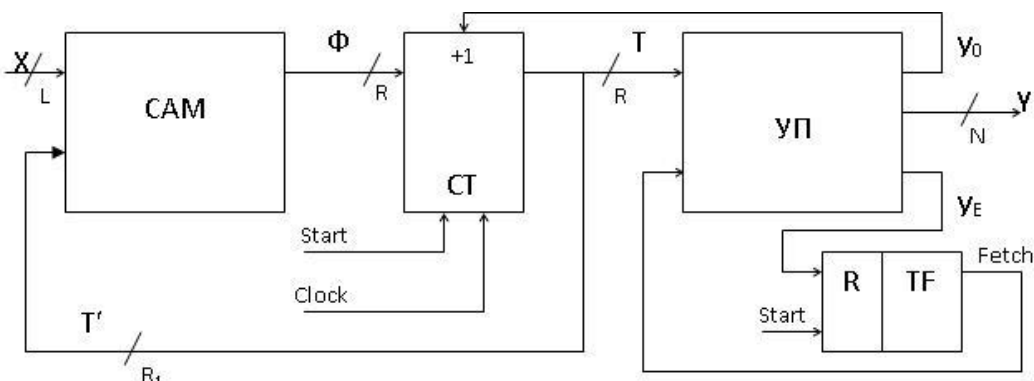


Рисунок 1 – Структурная схема КМУУ  $U_1$

По сигналу Start в счетчик СТ заносится адрес первой микрокоманды интерпретируемого алгоритма, а триггер считывания TF устанавливается в единицу ( $Fetch=1$ ), что разрешает выборку микрокоманд  $Y$  из управляющей памяти УП. Управляющая память УП хранит наборы микроопераций  $Y_q$ , где  $Y_q \subseteq Y = \{y_1, \dots, y_N\}$  – микрооперации, записанные в вершине  $b_q \in B_1$  ГСА  $\Gamma$ , и состоит из  $2^R \cdot (N+2)$  бит. Первый дополнительный разряд используется для хранения сигнала  $y_0$ , обеспечивающего естественную адресацию компонент ОЛЦ  $\alpha_g \in C$ . Второй – для организации режима останова КМУУ (сигнал  $y_E$ ). Комбинационная схема адресации микрокоманд (CAM) благодаря оптимальной адресации микрокоманд, имеет  $R_1 = \lceil \log_2 I \rceil \leq R$  сигналов обратной связи и реализует систему функций

$$\Phi = \Phi(T', X), \quad (2)$$

формирующих в счетчике СТ адрес  $A(I_g^j)$   $j$ -го входа ОЛЦ  $\alpha_g \in C$ .

Оптимальная адресация микрокоманд выполняется с помощью модифицированной

карты Карно. Модификация карты заключается в том, что по вертикали записываются двоичные наборы, следующие в естественном порядке. Кarta Карно, содержащая адреса микрокоманд, предоставляет

$$\Delta = 2^R - M_1$$

клеток для адресации микрокоманд ОЛЦ  $\alpha_g \in C'$ , где  $C' \subseteq C$  – множество ОЛЦ, выходы которых не связаны с входом вершины  $b_E$ ;  $M_1$  – число компонент в ОЛЦ  $\alpha_g \notin C'$ . При выполнении условия

$$\Delta \geq \sum_{i=1}^I \Delta_i \quad (3)$$

адреса компонент любой ОЛЦ  $\alpha_g \in C'$  могут быть расположены в соседних клетках карты Карно, причем компоненты всех ОЛЦ, принадлежащих  $i$ -му классу псевдоэквивалентных ОЛЦ  $B_i$ , будут расположены в одном кубе размерности  $\Delta_i$ .

Предложенный метод оптимальной адресации микрокоманд [9] позволяет уменьшить число сигналов обратной связи в схеме адресации микрокоманд за счет уменьшения числа аргументов и числа термов в

системе функций (2). Однако его применение не всегда возможно. Для целесообразности использования метода необходимо выполнение ряда условий [9].

В настоящей работе предлагается для усовершенствования метода синтеза КМУУ с оптимальной адресацией микрокоманд использовать процедуру элементаризации ОЛЦ с разделением кодов.

Элементарной ОЛЦ (ЭОЛЦ) считается ОЛЦ, имеющая только один вход [6].

### Основная идея метода

Структура КМУУ  $U_2$ , интерпретирующего элементарные ОЛЦ с разделением кодов, представлена на рис. 2.

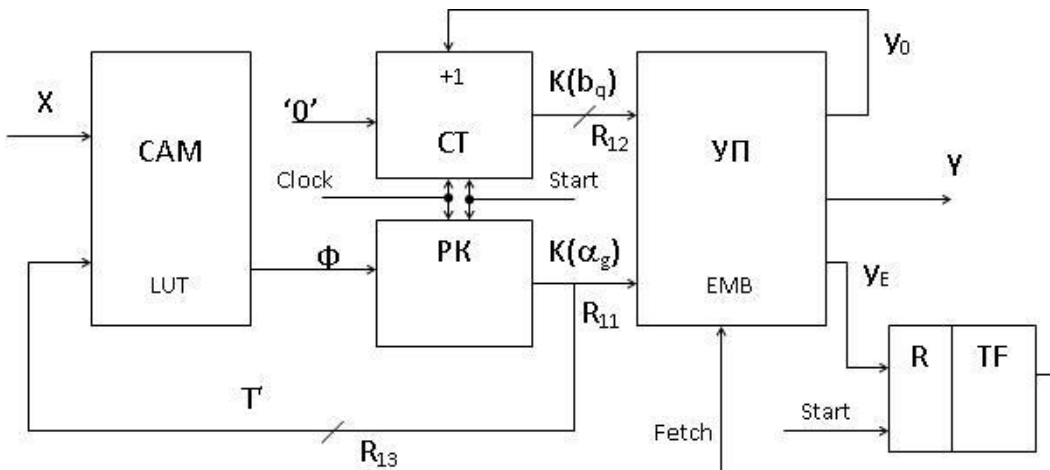


Рисунок 2 – Структурная схема КМУУ  $U_2$

Здесь комбинационная схема САМ формирует систему функций

$$\Phi = \Phi(T', X), \quad (4)$$

задающих в регистре РК код  $K(\alpha_g)$  текущей ОЛЦ  $\alpha_g \in C$ .

Адрес микрокоманды представлен в виде конкатенации кодов [6]

$$A(Y_q) = K(\alpha_g) * K(b_q),$$

где  $A(Y_q)$  – адрес микрокоманды  $Y_q$ , записанной в вершине  $b_q$ , входящей в ОЛЦ  $\alpha_g$  и хранящейся в управляющей памяти УП;

$K(\alpha_g)$  – код ОЛЦ  $\alpha_g \in C = \{\alpha_1, \dots, \alpha_G\}$  разрядности  $R_{11} = \lceil \log_2 G \rceil$ ;

$K(b_q)$  – код вершины  $b_q$  кортежа  $\alpha_g \in C$  разрядности

$$R_{12} = \lceil \log_2 F_{\max} \rceil, \quad (5)$$

где  $F_{\max}$  – максимальное число компонент ОЛЦ в множестве  $C$ .

Разрядность адреса микрокоманды составляет  $R = R_{11} + R_{12}$  и для его представления используется множество внутренних переменных

$$T = \{T_1, \dots, T_{R_{11}}, T_{R_{11}+1}, \dots, T_{R_{11}+R_{12}}\}.$$

Использование элементарных ОЛЦ позволяет подавать на вход счетчика СТ нулевой код разрядности  $R_{12}$ , соответствующий коду первой компоненты текущей ОЛЦ  $\alpha_g \in C$ . При таком подходе коды ОЛЦ и коды их компонент являются взаимно независимыми и

на вход комбинационной схемы САМ подаются только  $R_{11}$  переменных обратной связи, образующих множество  $T = \{T_1, \dots, T_{R_{11}}\}$ . Это позволяет уменьшить количество LUT-элементов, использующихся для реализации схемы САМ, по сравнению с КМУУ  $U_1$ .

Функционирование КМУУ  $U_2$  происходит следующим образом. По сигналу Start содержимое СТ и РК обнуляется, что является кодом первой компоненты первой ОЛЦ  $\alpha_g \in C$ , то есть адресу первой микрокоманды соответствующей ГСА Г. Триггер считываивания ТФ устанавливается в единичное состояние и происходит считывание микрокоманды из УП.

Если адрес  $A(Y_q)$  компоненты не является адресом выхода текущей ОЛЦ  $\alpha_g \in C$ , то одновременно с микрооперациями  $Y_q \in Y$  формируется сигнал  $y_0 = 1$ . Таким образом, содержимое счетчика увеличивается на 1 и происходит переход к следующей компоненте  $Y_t$  текущей ОЛЦ  $\alpha_g \in C$ .

Если адрес  $A(Y_q)$  компоненты является адресом выхода  $O_g$  текущей ОЛЦ, то сигнал  $y_0 = 0$ , счетчик обнуляется, и схема САМ формирует код  $K(\alpha_q)$  следующей ОЛЦ  $\alpha_q \in C$  в соответствии с системой (4). Для представления кода используются переменные  $\varphi_r \in \Phi = \{\varphi_1, \dots, \varphi_{R_{11}}\}$ . При формировании сигнала  $y_E$  триггер ТФ сбрасывается и функционирование КМУУ  $U_2$  завершается.

В настоящей работе предлагается метод синтеза КМУУ  $U_2$ .

### Пример применения метода

Пусть алгоритм управления некоторой цифровой системы задан ГСА  $\Gamma_1$  (рис. 3). Выполним синтез КМУУ  $U_2$  по ГСА  $\Gamma_1$ .

#### 1. Формирование множества ОЛЦ $C$ .

Этот этап выполняется по известной методике [7] и в нашем случае имеем  $C = \{\alpha_1, \dots, \alpha_5\}$ , где  $\alpha_1 = \langle b_1, b_2, b_3, b_4 \rangle$ ,  $\alpha_2 = \langle b_5, b_6 \rangle$ ,  $\alpha_3 = \langle b_7, b_8, b_9 \rangle$ ,

$\alpha_{10} \rangle$ ,  $\alpha_4 = \langle b_{11}, b_{12} \rangle$ ,  $\alpha_5 = \langle b_{13}, b_{14} \rangle$ ,  $G = 5$ .

#### 2. Формирование множества элементарных ОЛЦ $C_E = \{\alpha_1, \dots, \alpha_{G_E}\}$ .

Разбиение  $\alpha_g \in C$  на элементарные ОЛЦ имеет смысл только в случае, если

$$|MI(\Gamma)| < |I(\Gamma)|, \quad (6)$$

где  $MI(\Gamma)$  – множество главных входов ГСА  $\Gamma$ ;  $I(\Gamma)$  – множество всех входов ГСА  $\Gamma$ . Для ГСА  $\Gamma_1$  имеем  $|MI(\Gamma_1)| = 5$  и  $|I(\Gamma_1)| = 7$ , следовательно, условие (6) выполняется.

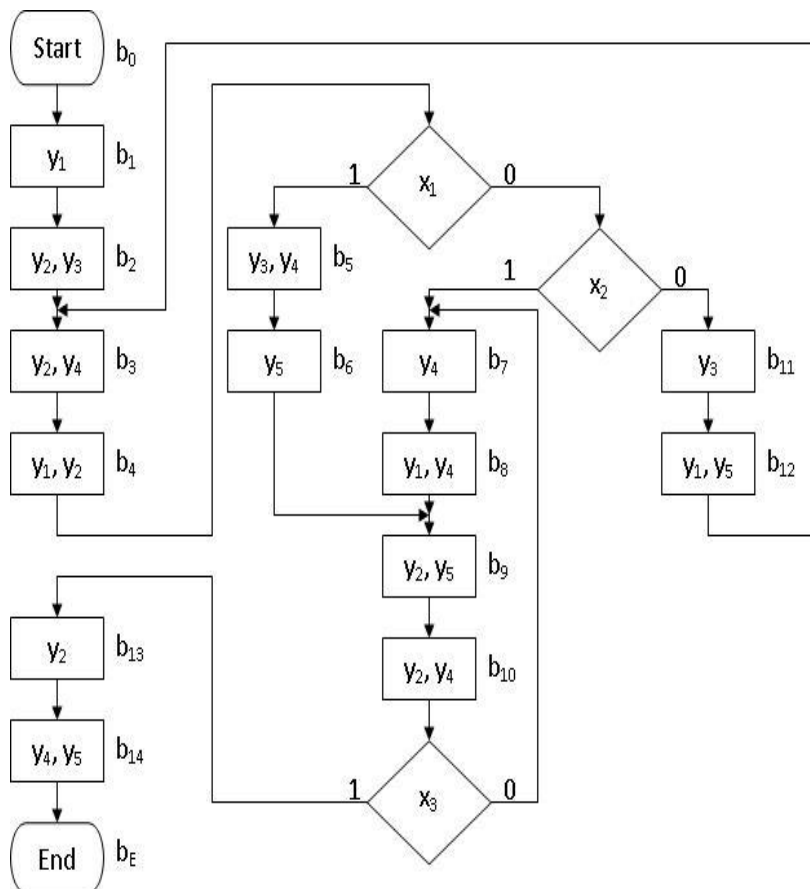


Рисунок 3 – Исходная граф-схема алгоритма  $\Gamma_1$

Применение процедуры элементаризации [6] позволяет построить множество  $C_E = \{\alpha_1, \dots, \alpha_7\}$  элементарных ОЛЦ, где  $\alpha_1 = \langle b_1, b_2 \rangle$ ,  $\alpha_2 = \langle b_3, b_4 \rangle$ ,  $\alpha_3 = \langle b_5, b_6 \rangle$ ,  $\alpha_4 = \langle b_7, b_8 \rangle$ ,  $\alpha_5 = \langle b_9, b_{10} \rangle$ ,  $\alpha_6 = \langle b_{11}, b_{12} \rangle$ ,  $\alpha_7 = \langle b_{13}, b_{14} \rangle$ ,  $G_E = 7$ . Для кодирования элементарных ОЛЦ  $\alpha_g \in C_E$  потребуется  $R_{11}=3$  переменных  $T_r \in T$ .

В общем случае, число элементарных ОЛЦ больше числа исходных ОЛЦ, что увеличивает длину таблицы переходов КМУУ, но в свою очередь, позволяет уменьшить число переменных обратной связи на величину  $\lceil \log_2(|I(\Gamma)| - |MI(\Gamma)|) \rceil$ .

**Формирование разбиения  $\Pi_{C_E} = \{B_1, \dots, B_4\}$  множества ОЛЦ  $C_E$  на классы псевдоэквивалентных ОЛЦ.** Разбиение на классы псевдоэквивалентных ОЛЦ выполняется только для  $\alpha_g \in C'_E$  таких, что выход этой ОЛЦ не связан с конечной вершиной ГСА. В нашем случае  $C'_E = \{\alpha_1, \dots, \alpha_6\}$  и формирование разбиения множества ОЛЦ  $C'_E$  на классы псевдоэквивалентных ОЛЦ дает  $\Pi'_{C'_E} = \{B_1, \dots, B_4\}$ , где  $B_1 = \{\alpha_1, \alpha_6\}$ ,  $B_2 = \{\alpha_2\}$ ,  $B_3 = \{\alpha_3, \alpha_4\}$ ,  $B_4 = \{\alpha_5\}$ ,  $I=4$ .

#### 4. Оптимальное кодирование

**элементарных ОЛЦ.** Оптимальное кодирование элементарных ОЛЦ  $\alpha_g \in C'_E$  выполняется аналогично кодированию псевдоэквивалентных состояний автомата Мура [8]. При этом каждой элементарной ОЛЦ  $\alpha_g \in C'_E$  ставится в соответствие  $R_{11}$ -разрядный код и все ОЛЦ  $\alpha_g \in B_i$  должны располагаться в одном кубе булевого пространства. Вариант оптимального кодирования приведен на рис. 4, представляющем собой модифицированную карту Карно.

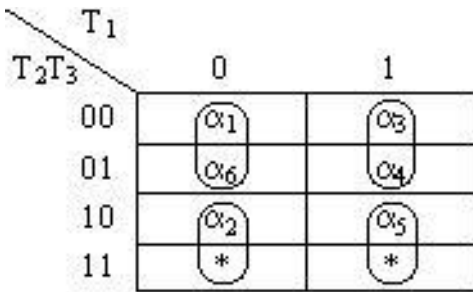


Рисунок 4 – Оптимальное кодирование ОЛЦ КМУУ  $U_2(\Gamma_1)$

Как видно из рис. 4, полученные кубы булевого пространства дают коды, однозначно идентифицирующие классы  $B_i \in \Pi_{C'_E}$ :

$$\begin{aligned} K(B_1) &= 00^*, \\ K(B_2) &= 01^*, \\ K(B_3) &= 10^*, \\ K(B_4) &= 11^*. \end{aligned}$$

Это приводит к уменьшению числа переменных обратной связи  $T_r \in T'$  от  $R_{11}$  до  $R_{13} = \lceil \log_2 I \rceil = 2$ .

**5. Формирование содержимого управляемой памяти УП.** Результаты кодирования элементарных ОЛЦ приведены в табл. 1, коды ОЛЦ  $\alpha_g \in C'_E$  взяты из карты Карно на рис. 4. Для кодирования ОЛЦ  $\alpha_7 \notin C'_E$  взят один из несущественных кодов.

Таблица 1 - Кодирование элементарных ОЛЦ ГСА  $\Gamma_1$

$\alpha_g$	$\alpha_1$	$\alpha_2$	$\alpha_3$	$\alpha_4$	$\alpha_5$	$\alpha_6$	$\alpha_7$
$K(\alpha_g)$	00	01	10	10	11	00	01
)	0	0	0	1	0	1	1

Согласно (5) имеем  $F_{\max} = 2$ , то есть для кодирования компонент ОЛЦ  $\alpha_g \in C_E$  необходимо  $R_{12} = 1$  переменных  $T_r \in T$ . При кодировании первой компоненты ОЛЦ  $\alpha_g \in C_E$  переменная  $T_4 = 0$ , второй компоненты –  $T_4 = 1$ .

Таким образом, для адресации микрокоманд КМУУ  $U_2(\Gamma_1)$  необходимо использовать  $R = R_{11} + R_{12} = 3 + 1 = 4$  переменных, что не превышает

соответствующий показатель для КМУУ  $U_1(\Gamma_1)$ . Однако, число переменных обратной связи  $R_{13} = 2$  в КМУУ  $U_2(\Gamma_1)$ , меньше, чем  $R_1 = 4$  в КМУУ  $U_1(\Gamma_1)$ . Следовательно, применение КМУУ  $U_2$ , интерпретирующего элементарные ОЛЦ с разделением кодов, целесообразно.

Фрагмент содержимого управляемой памяти УП для КМУУ  $U_2(\Gamma_1)$  приведен в табл. 2. Здесь сигнал  $y_0$  введен во все вершины, не являющиеся выходами ОЛЦ  $\alpha_g \in C_E$ , сигнал  $y_E$  введен в вершину  $b_{14}$ , связанную с конечной вершиной  $b_E$ .

Таблица 2 - Фрагмент содержимого управляемой памяти КМУУ  $U_2(\Gamma_1)$

Адрес $A(b_q)$	Микрокоманда $Y(b_q)$							$b_q$
	$y_0$	$y_1$	$y_2$	$y_3$	$y_4$	$y_5$	$y_E$	
0000	1	1	0	0	0	0	0	$b_1$
0001	0	0	1	1	0	0	0	$b_2$
0100	1	0	1	0	1	0	0	$b_3$
...								
0111	0	0	0	1	0	1	1	$b_{14}$

**6. Формирование таблицы переходов КМУУ.** До построения таблицы переходов КМУУ  $U_2(\Gamma_1)$  выполняется формирование системы формул перехода, в которых выходы ОЛЦ  $\alpha_g \in B_i$  заменяются соответствующими классами  $B_i \in \Pi_{C'_E}$ , а входы ОЛЦ заменяются ОЛЦ  $\alpha_q \in C_E$ , в которые происходит переход. В нашем случае имеем

$$\begin{aligned} B_1 &\rightarrow \alpha_2; \\ B_2 &\rightarrow x_3 \alpha_3 \vee \overline{x}_1 x_2 \alpha_4 \vee \overline{x}_1 \overline{x}_2 \alpha_6; \\ B_3 &\rightarrow \alpha_5; \\ B_4 &\rightarrow x_3 \alpha_7 \vee \overline{x}_3 \alpha_4. \end{aligned} \quad (7)$$

При этом не используется формула для класса  $B_5 \in \Pi_{C'_E}$ , в который входит ОЛЦ  $\alpha_7 \in C_E$ , содержащая вершину  $b_{14}$ , связанную с конечной вершиной  $b_E$  ГСА  $\Gamma_1$ . Таблица переходов КМУУ  $U_2(\Gamma_1)$  строится по системе (7).

**7. Формирование системы функций  $\Phi$ .** Формирование системы функций (4) выполняется по таблице переходов КМУУ  $U_2(\Gamma_1)$  (табл. 3) в виде:

$$\varphi_r = \bigvee_{h=1}^H C_{rh} E_i^h X_h \left( r = \overline{1, R_{13}} \right)$$

где  $C_{rh}$  – булева переменная, равная единице, если и только если в  $h$ -й строке таблицы переходов записана функция  $\varphi_r = 1$ ;

$E_i^h$  – конъюнкция переменных  $T_r \in T$ , соответствующая коду  $K(B_i)$  из  $h$ -й строки таблицы переходов  $h = \overline{1, H}$ ;

$$E_i^h = \bigwedge_{r=1}^{R_{13}} T_r^{l_{ir}} \left( i = \overline{1, I} \right)$$

где  $I_{ir} \in \{*, 0, 1\}$  – значение r-го разряда кода  $K(B_i)$ ,  $T_r^* = 1$ ,  $T_r^0 = \overline{T_r}$ ,  $T_r^1 = T_r$  ( $r=1, R_{13}$ ).

Таблица 3 -Таблица переходов

КМУУ $U_2(\Gamma_1)$						
$B_i$	$K(B_i)$	$\alpha_q$	$K(\alpha_q)$	$X_h$	$\Phi_h$	$h$
$B_1$	$00^*$	$\alpha_2$	$010$	–	$D_2$	$1$
$B_2$	$01^*$	$\alpha_3$	$100$	$x_1$	$D_1$	$2$
		$\alpha_4$	$101$	$\overline{x_1 x_2}$	$D_1 D_3$	$3$
		$\alpha_6$	$001$	$\overline{\overline{x_1 x_2}}$	$D_3$	$4$
$B_3$	$10^*$	$\alpha_5$	$110$	–	$D_1 D_2$	$5$
$B_4$	$11^*$	$\alpha_7$	$011$	$x_3$	$D_2 D_3$	$6$
		$\alpha_4$	$101$	$\overline{x_3}$	$D_1 D_3$	$7$

Для КМУУ  $U_2(\Gamma_1)$  имеем, например,

$$D_2 = \overline{T_1 T_2} \vee T_1 \overline{T_2} \vee T_1 T_2 x_3.$$

**8. Синтез логической схемы КМУУ на FPGA.** Синтез логической схемы выполняется на LUT-элементах (регистр РК реализуется на входящих в состав FPGA триггерах) и управляющей памяти УП на блоках EMB [7,8].

### Заключение

Предложенный в работе метод элементаризации ОЛЦ с разделением кодов и оптимальным кодированием ОЛЦ позволяет при выполнении условия

$$R_{13} < R_{11} \quad (8)$$

уменьшить число переменных обратной связи, необходимых для реализации системы функций (4), формирующих код следующей ОЛЦ ГСА. Применение метода не требует использования дополнительного регистра, так как для его реализации достаточно использовать имеющиеся в составе FPGA триггеры. В тоже время, происходит уменьшение разрядности счетчика СТ, который используется только для адресации компонент ОЛЦ (5). При этом время такта КМУУ  $U_1$  и  $U_2$  совпадают.

Проведенные авторами исследования на основе стандартных примеров МПА [10] показали, что использование КМУУ  $U_2$  уменьшает число LUT-элементов FPGA, необходимых для реализации схемы адресации микрокоманд, до 20% по сравнению с КМУУ  $U_1$ .

Научная новизна предложенного метода заключается в использовании особенностей базиса FPGA и применении элементаризации ОЛЦ с разделением кодов и оптимального кодирования ОЛЦ для уменьшения числа LUT элементов в схеме КМУУ.

С практической точки зрения метод дает возможность уменьшить площадь кристалла

FPGA, занимаемую схемой КМУУ с оптимальной адресацией микрокоманд, что позволяет получать схемы, обладающие меньшей стоимостью, чем известные из литературы аналоги.

Дальнейшие исследования могут быть направлены на разработку метода синтеза КМУУ, уменьшающего число LUT-элементов в схеме адресации при нарушении условия (8).

### Литература

1. Baranov, S. Logic and System Design of Digital Systems/ S. Baranov. – Tallinn: TUT Press, 2008. – 266 pp.
2. Соловьев, В.В. Логическое проектирование цифровых систем на основе программируемых логических интегральных схем / В.В. Соловьев, А.С. Климович. – Москва: Горячая линия – Телеком, 2008. – 376 с.
3. Minks, P. FSM – based Digital Design using Verilog / P. Minks, I. Elliot. – London: John Wiley & Sons, 2008. – 351 pp.
4. Maxfield, S. The Design Warrior's Guide to FPGAs/ S. Maxfield. – Amsterdam: Elsevier, 2004. – 541 pp.
5. Палагин, А.В. Реконфигурируемые вычислительные системы: Основы и приложения / А.В. Палагин, В.Н. Опанасенко. – Киев: Просвіта, 2006. – 280 с.
6. Barkalov, A. Logic synthesis for compositional microprogram control units/ A. Barkalov, L. Titarenko. – Berlin: Springer, 2008. – 272 pp.
7. Баркалов, А.А. Синтез композиционных микропрограммных устройств управления / А.А. Баркалов, Л.А. Титаренко. – Харьков: Колледиум, 2007. – 302с.
8. Баркалов, А.А. Синтез микропрограммных автоматов на заказных и программируемых СБИС / А.А. Баркалов, Л.А. Титаренко. – Донецк: УНИТЕХ, 2009. – 336 с.
9. Баркалов, А.А. Оптимизация числа LUT-элементов в композиционном микропрограммном устройстве управления с общей памятью / А.А. Баркалов, С.А. Ковалев, К.Н. Ефименко // Управляющие системы и машины. – 2006. – №4. – С. 50-55.
10. Yang, S. Logic synthesis and optimization bench marks user guide. Technical report/ S. Yang. – Microelectronic Center of North Carolina, 1991. – 44 pp.

**Efimenko K.N. Optimization of the compositional control unit with optimum addressing microinstructions.** The method is proposed that leads to simplification of the circuit of addressing of compositional microprogram control unit with optimum addressing microinstructions implemented on FPGA. Method is based on usage of procedure elementarization of operational linear chains with sharing of codes and optimal coding of operational linear chains. The application of the method permits to decrease the amount of LUT-elements in the chip of FPGA. An example of proposed method application is given.

**Keywords:** CMCU with optimum addressing microinstructions, FPGA, optimal coding, logic circuit

**Єфіменко К.М. Удосконалення композиційного пристрою керування з оптимальною адресацією мікрокоманд.** Запропоновано метод, що дозволяє спростити схему адресації композиційного мікропрограммного пристрою керування з оптимальною адресацією мікрокоманд, яка реалізована на FPGA. Метод заснований на використанні процедури елементаризації операторних лінійних ланцюгів з розділенням кодів і оптимальним кодуванням операторних лінійних ланцюгів. Застосування даного методу забезпечує зменшення числа LUT-елементів в FPGA мікросхемі. Наведено приклад застосування запропонованого методу.

**Ключові слова:** КМПК з оптимальною адресацією мікрокоманд, FPGA, оптимальне кодування, логічна схема

**Ефименко К.Н. Усовершенствование композиционного устройства управления с оптимальной адресацией микрокоманд.** Предложен метод, позволяющий упростить схему адресации композиционного мікропрограммного устройства управления с оптимальной адресацией микрокоманд, реализованную на FPGA. Метод основан на использовании процедуры элементаризации операторных линейных цепей с разделением кодов и оптимальным кодированием операторных линейных цепей. Применение данного метода обеспечивает уменьшение числа LUT-элементов в FPGA микросхеме. Приведен пример применения предложенного метода.

**Ключевые слова:** КМУУ с оптимальной адресацией микрокоманд, FPGA, оптимальное кодирование, логическая схема

Статья поступила в редакцию 17.10.2017  
Рекомендована к публикации доктором технических наук В.Н. Павлышиом